地すべり抑止アンカー工の耐震補強効果の数値解析的評価

群馬大学大学院 学生会員 ○松下圭佑,門間俊之 群馬大学大学院 正会員 若井明彦

1. はじめに

著者らは以前より動的弾塑性 FEM に基づいてアンカー工の耐震補強効果を評価するための研究を進めてきた (若井・源田 (2008))。若井・門間 (2010) は既存すべり面を有する斜面を対象とした同様の FEM 解析を行い、すべり土塊の力学特性がアンカーの効果に影響を与えることを明らかにした。本稿では、より多様な条件下での解析結果の比較検討に基づき、斜面内のアンカーの抵抗機構について考察を深める。

2. 解析対象

二次元モデル化した解析対象に対して、せん断強度 低減法 (SSRM) により斜面の全体安全率計算と動的弾 塑性 FEM による地震応答解析を行う。二次元モデルに 対する解析精度の妥当性に関しては既往の文献(若 井・源田(2008)) で証明されている。解析対象は図-1 のような仮想斜面とする。斜面を構成する土は基盤を 構成する固い土と残留強度状態の既存すべり面(弱い 層)の2種類である。図-1には奥行き方向のアンカー の打設間隔(1.5m) およびその二次元モデル化の概念 図を一緒に示した。単位奥行きで等価モデルを考える ため各材料の剛性の平均化を行った。二次元有限要素 メッシュ (8節点要素) を図-2に示す。地震応答解析に おいては解析領域端部の反射波の影響を小さくするた め、斜面部より十分離れた位置までを解析領域とした。 材料定数は、若井・門間(2010)と同様のものを用い たもの (ケース A) と基盤を構成する固い土のヤング 率を小さくしたもの (ケースB) の2種類用意し,アン カーの無い斜面,図-1のアンカーを有する斜面(初期 緊張力ゼロ),同じく初期緊張力 45kN の斜面,の3通 りの解析を行った。また若井・源田(2008)にて使わ れた斜面を構成する土が均質であるケースも比較対象 として、同様に 3 通り解析を行った。材料定数の一覧 を表-1 に示す。なお地震応答解析時に斜面にかかる減 衰力を両ケース共に同じにするために、ケース A の Rayleigh 減衰の定数 β をケース B のものの 1/10 にして いる。

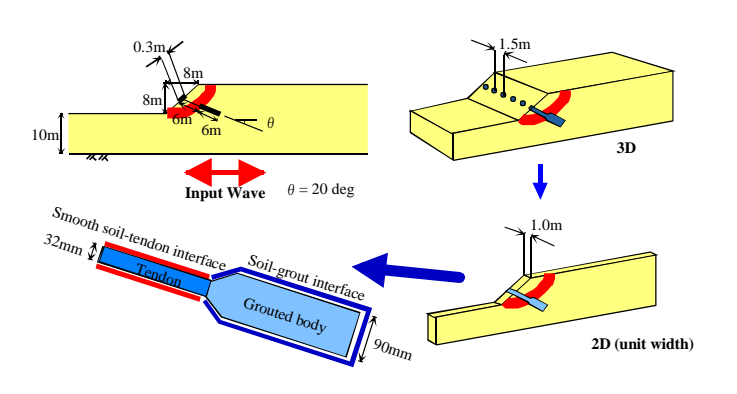


図-1 解析対象とするアンカー補強斜面

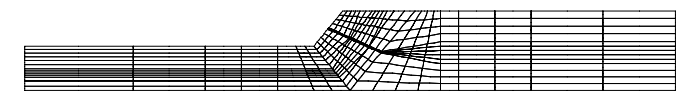


図-2 二次元有限要素メッシュ (8 節点要素)

3. 安全率計算

弾完全塑性モデルに基づくせん断強度低減法 (SSRM) により斜面の全体安全率を求めた。その結果 得られた安全率 Fs の一覧をまとめたものが表-2 である。斜面がアンカーを有することでケース A, B 共に全体安全率が増加しているのがわかる。また、土が均質なケースに比べて全体安全率が増加しているのがわかる。さらに両者を比較すると、どの条件下においても安全率に差がないことがわかる。これより、極限平衡的な視点でのアンカー力の大きさに大きく影響を与えているのはヤング率ではなく、粘着力と内部摩擦角であると考えられる。

4. 地震応答解析

動的弾塑性 FEM による地震応答解析を行った。基盤とすべり面の 2 種類の土の構成モデルには UW モデル (Wakai & Ugai, 2004) を用いた。アンカーを構成するテンドンとアンカー体は弾性体、テンドンー土間およびアンカー体ー土間の接触部分については摩擦を表現するための薄い要素(弾完全塑性体)を挿入した。解析における入力地震波(水平)には、旧山古志村竹沢での強震観測記録の EW 成分(図-3)を図-2 の解析領域の下端に入射した。斜面肩位置の鉛直変位の時刻歴を図-4 にそれぞれ示す。アンカーを施工することによ

って斜面肩の変位量がケース A は 2/7 程度(43.4cm 減), ケース B は 3/7 程度(65.6cm 減)に抑制されている。安全 率計算の時と異なり, 地震時においてはアンカーの性 能にヤング率が影響すると考えられる。ケース A, B 共 に初期緊張力を導入しないケースと導入したケース (45kN) の差は今回の解析条件下ではみられなかった。 全体の変形モードについて確認するため, アンカーの 無い斜面のケースとアンカーを施工したケース(初期 緊張力 45kN) それぞれの地震後の変形性状図を図-5 に、 地震後の残留せん断ひずみ分布を図-6に示す。ケース A, B 共に変形, せん断ひずみの発生の傾向は同じであるた め,ケースAのみ示す。図-5よりアンカーを施工する ことにより、斜面の地震後の滑り出し量が低減されて いる。すべり面の位置は、図-7によると、アンカーを 施工しないケースではすべり面位置のひずみが大きい のがわかる。また、アンカー施工時には斜面先と受圧 板付近で若干のひずみの増加の生ずることがわかる。 最後に地震中のアンカー力の変化傾向について確認す る。図-7 は初期緊張力を導入しない時と導入した時 (45kN) それぞれのアンカー力の時刻歴である。初期 緊張力 45 kN 時にアンカー力がケース A では 237kN,

表-1 解析に用いた材料定数

材料		ヤング率	ポアソン比	粘着力	内部摩擦角	単位体積重量	重量 Rayleigh減衰	
12:	144	$E(kN/m^2)$	ν	$c(kN/m^2)$	ø	$\gamma (kN/m^3)$	α	β
受	王板	1.0×10 ¹⁰	0.3			1.0×10 ⁻¹⁰		
テンドン		2.1×10 ⁸	0.3			1.0×10 ⁻¹⁰		
アンカー定着部		2.4×10 ⁷	0.2			1.0×10 ⁻¹⁰	-	-
土-テンドンの接触面		2.0×10 ⁵	0.25	0.01	0	1.0×10 ⁻¹⁰	-	-
土-定着部の接触面		2.0×10 ⁵	0.25	12	20	1.0×10 ⁻¹⁰	-	-
若井・源田(2008)		2.0×10 ⁵	0.25	12	20	20	0.172	0.00174
すべり面		2.0×10 ⁵	0.25	12	20	20	0.172	0.00174
土	ケースA	2.0×10 ⁶	0.25	100	35	20	0.172	0.000174
	ケースB	2.0×10 ⁵	0.25	100	35	20	0.172	0.00174

ケース B では 260kN 発生しており、斜面の変位抑制量 に対応したアンカー力が働いているといえる。

5. まとめ

二次元動的弾塑性 FEM により、土の特性がアンカー 工の耐震補強効果に与える影響の検討を行った。すべ り面を挟み込む土の粘着力と内部摩擦角が大きな影響 与えていることがわかった。また地震時においてはヤ ング率も前者ほどではないが影響を与えていることが わかった。今後はこの点に着目し研究を進めていくべ きであろう。

参考文献

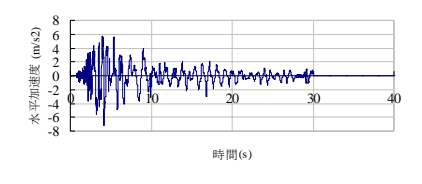
Cai, F. and Ugai, K. (2003): Reinforcing mechanism of anchors in slopes: a numerical comparison of results of LEM and FEM. Int. J. Numer. Anal. Meth. Geomech.. Vol.27, pp.549-564.

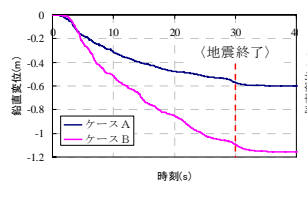
若井・源田(2008):アンカー工による斜面の耐震補強効 果についての基礎的研究:第47回日本地すべり学会 研究者発表会講演集, pp.225-228

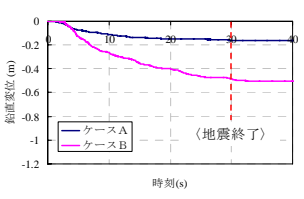
若井・門間(2010): 地すべり抑止アンカー工の耐震補強 効果の検討:第49回日本地すべり学会研究発表会講 演集(印刷中)

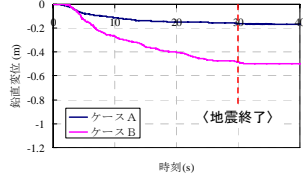
表-2 斜面の全体安全率 Fs

	若井·源田(2008)	ケースA	ケースB
アンカーなし	1.09	1.09	1.09
アンカーあり初期緊張力 0kN	1.21	1.34	1.34
アンカーあり初期緊張力 45kN	1.21	1.33	1.33

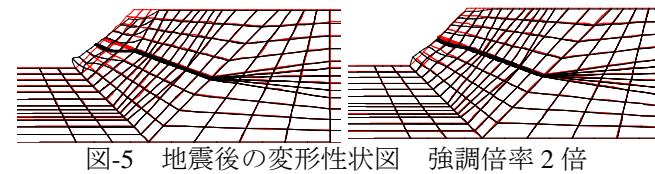


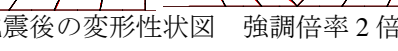




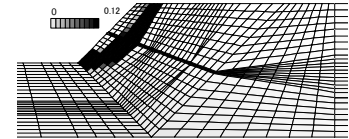


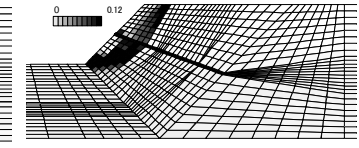
斜面肩位置の鉛直変位の時刻歴 (アンカーなし, 初期緊張力 0kN, 45 kN) 解析に用いた入力波形 図-4





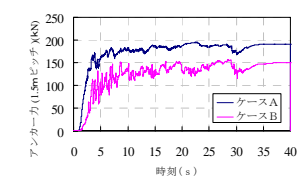
(アンカーなし, 初期緊張力 45 kN)

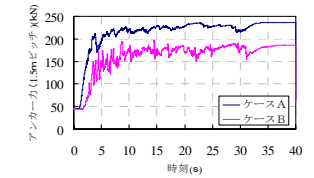




地震後の残留せん断ひずみ分布

(アンカーなし、初期緊張力 45 kN)





アンカー力の時刻歴(初期緊張力 0kN, 45 kN)